

تحلیل ارتعاشات آزاد دیسک حلقوی به روش مدار معادل الکترومکانیکی

حسن نحوی* (دانشیار)

نیما نوری (دانشجوی کارشناسی ارشد)

دانشکده هندسی مکانیک، دانشگاه صنعتی اصفهان

مهمترین مکانیک شریف
دوری ۳۷-۸۱، شماره ۱، ص. ۸۷-۹۴، (پادشاهی ف)

در این نوشتار ارتعاشات پیچشی و شعاعی دیسک‌های حلقوی ایزوتوپیک با تغییرات خطی ضخامت در راستای شعاعی و با استفاده از روش مدار الکترومکانیکی معادل و توابع بدل حل شده است. به‌کمک این مدار فرکانس‌های طبیعی و روابط آن برای ارتعاشات پیچشی و شعاعی و همچنین ضرایب بزرگ‌نمایی (نسبت دامنه سرعت) آن به دست آمده است. سپس تغییرات فرکانس‌های طبیعی و ضرایب بزرگ‌نمایی نسبت به تغییرات پارامترهای هندسی، از جمله شعاع داخلی و خارجی، مورد بحث قرار گرفته است. در ادامه، شکل مودها و فرکانس‌های طبیعی دیسک از نرم افزار اجزاء محدود استخراج و با نتایج حاصل از روش مدار معادل مکانیکی مقایسه شده است. هم‌خوانی خوبی بین این نتایج مشاهده شده است. روش مطرح شده در این نوشتار به عنوان یک الگوریتم حل برای بررسی ارتعاشات دیسک‌ها با ضخامت متغیر نیز قابل استفاده است.

hnahvi@cc.iut.ac.ir
n.nouri@me.iut.ac.ir

واژگان کلیدی: ارتعاشات، دیسک حلقوی، مدار الکترومکانیکی.

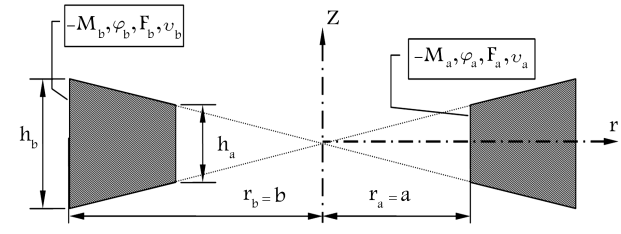
مقدمه

صفحات با اشكال، ابعاد و ضخامت‌های مختلف و با شرایط مرزی گوناگون نقش مهمی را در زمینه‌هایی چون هواپما، دریانوردی، مهندسی مکانیک، صنایع نفت و پتروشیمی، حمل و نقل، و مهندسی برق ایفا می‌کنند. برای مثال از صفحات حلقوی نازک برای تحریک‌کردن انرژی، بزرگ‌نمایی سرعت و جایه‌جایی، جوشکاری فلات و پلاستیک، ماشین‌کاری فوق صوت و کشش سرد مأمور صوت لوله استفاده می‌شود. همچنین در طراحی مبدل‌های سوپرسونیک و کشتر ارتعاشات و صوت در زیرآب، ارتعاشات شعاعی و پیچشی دیسک‌های حلقوی کاربرد گسترده‌ی دارد. تاکنون تحقیقات زیادی برای تحریک فرکانس طبیعی صفحات یا دیسک‌های حلقوی با استمر کشسان انجام شده است. برای مثال ارتعاشات صفحه‌ی که به صورت عمودی با استمر کشسان احاطه شده قابل دسترسی است.^[۱] لیسا ثابت کرده که بسترهای وینکلر صرفاً باعث افزایش فرکانس طبیعی صفحه به اندازه‌ی ضریبی ثابت می‌شود. ارتعاشات آزاد صفحه با ضخامت متغیر روش‌های مختلفی حل شده است. بدین منظور بیشتر محققین از روش تقریبی رینز استفاده کرده‌اند و به بررسی مواردی چون ارتعاشات دیسک با تغییرات ضخامت دوخطی، نمایی و تغییرات غیر یکنواخت پرداخته‌اند.^[۲-۴]

ارتعاشات شعاعی و پیچشی دیسک‌های حلقوی به‌کمک ماتریس انتقال نیز حل شده است.^[۵-۶] دیفرانسیل مرتبه چهار (DQ) و دیفرانسیل هارمونیک مرتبه چهار (HDQ) را می‌توان برای حل کمائن و ارتعاشات دیسک‌های ضخیم و ارتعاشات دیسک‌هایی با ضخامت غیر یکنواخت و متغیر به کار برد.^[۷-۹] محققین دریافت‌های

ارتعاشات پیچشی دیسک‌های حلقوی با مقطع مخروطی
مقطع دیسک حلقوی در شکل ۱ نمایش داده شده است. در این تصویر r_1 و Z به ترتیب مختصات شعاعی و محوری‌اند. در محاسبات از مختصات استوانه‌یی استفاده شده است. با فرض کم بودن ضخامت دیسک (عنی $r_b \propto h_b$)، تشن و حلقوی را راستای محوری فاصله اغماس است. بنابراین ارتعاشات دیسک (صفه) کرنش در راستای محوری فاصله اغماس است. تنش ارتعاشات دیسک با ضخامت

* نویسنده مسئول
تاریخ: دریافت ۱۲/۰۴/۱۳۸۹، اصلاحیه ۲۶/۰۱/۱۳۸۹، پذیرش ۱۸/۱۲/۱۳۸۹.



شکل ۱. تصویر نیم برش دیسک هلقی با مقطع با تغییرات خطی.

متغیر را می‌توان چنین بیان کرد:

$$\frac{\partial^r \phi}{\partial r^r} + \left(\frac{1}{r} + \frac{1}{h} \frac{dh}{dr} \right) \left(\frac{\partial \phi}{\partial r} \right) - \left(\frac{1}{r^r} + \frac{1}{rh} \frac{dh}{dr} \right) \phi = \frac{1}{c_t^r} \frac{\partial^r \phi}{\partial t^r} \quad (1)$$

که در آن $h = h(r)$ ضخامت دیسک در راستای محوری است. تنش برشی روی صفحات دیسک عبارت است از:

$$T_t = G r \frac{\partial \phi}{\partial r} \quad (2)$$

چنانچه تابع ضخامت به صورت $h(r) = h_0 \cdot r$ بیان شود — عددی ثابت است — صفحه‌ی هلقی اصطلاحاً مخروطی نامیده می‌شود. برای ارتعاشات هارمونیک، جایه‌جایی دورانی (زاویه‌ی) را با $\phi = e^{i\omega t}$ بیان می‌کنند. با جایگزینی در معادله ۲ خواهیم داشت:

$$\frac{\partial^r \phi}{\partial r^r} + \frac{2}{r} \frac{\partial \phi}{\partial r} + \left(k_t^r - \frac{2}{r^r} \right) \phi = 0 \quad (3)$$

که در آن ϕ دامنه‌ی ارتعاشات پیچشی است. معادله ۳ یک معادله بدل (ضمیمه) از مرتبه $3/2$ است. با استفاده از فرض ارتعاشات هارمونیک و حل معادله ۳ عبارت ۴ حاصل می‌شود:

$$\phi = r^{-\frac{1}{2}} \left[A \cdot J_{\frac{1}{2}}(k_t r) + B \cdot Y_{\frac{1}{2}}(k_t r) \right] e^{i\omega t} \quad (4)$$

که در آن A و B ثابت‌اند و $J_{\frac{1}{2}}(k_t r)$ و $Y_{\frac{1}{2}}(k_t r)$ به ترتیب تابع نوع اول و دوم بدل از مرتبه $3/2$ هستند. سرعت زاویه‌ی را می‌توان طبق معادله ۵ محاسبه کرد:

$$\varphi = \frac{\partial \phi}{\partial t} = i\omega r^{-\frac{1}{2}} \left[A \cdot J_{\frac{1}{2}}(k_t r) + B \cdot Y_{\frac{1}{2}}(k_t r) \right] e^{i\omega t} \quad (5)$$

با توجه به اندازه‌ی سرعت‌های زاویه‌ی مرزی $\left. \frac{\partial \phi}{\partial t} \right|_{r=a} = \varphi_a$ و $\left. \frac{\partial \phi}{\partial t} \right|_{r=b} = -\varphi_b$ مقادیر ثابت‌های A و B چنین محاسبه می‌شوند:

$$\begin{cases} A = -\frac{1}{\omega} \cdot \frac{b^{\frac{1}{2}} Y_a \varphi_b + a^{\frac{1}{2}} Y_b \varphi_a}{(J_b Y_a - J_a Y_b)} \\ B = \frac{1}{\omega} \cdot \frac{b^{\frac{1}{2}} J_a \varphi_b + a^{\frac{1}{2}} J_b \varphi_a}{(J_b Y_a - J_a Y_b)} \end{cases} \quad (6)$$

در معادله ۶، $J_a = J_{\frac{1}{2}}(k_t a)$ ، $J_b = J_{\frac{1}{2}}(k_t b)$ و $Y_a = Y_{\frac{1}{2}}(k_t a)$ ، $Y_b = Y_{\frac{1}{2}}(k_t b)$ اما با توجه به شرایط مرزی گشتاور $M|_{r=a} = a T_t|_{r=a} S_a = -M_a$ و $M|_{r=b} = b T_t|_{r=b} S_b = -M_b$ می‌توان M_a و M_b را بحسب φ_a و φ_b برابر کرد.

در صورتی که سطح مقطع دیسک را مخروطی فرض کنیم، معادله‌ی ۱۴ را می‌توان چنین ساده کرد:

$$\frac{\partial^r \xi}{\partial r^r} + \frac{2\partial \xi}{r\partial r} - \frac{1-v}{r^r} \xi = \frac{1}{c_r^r} \cdot \frac{\partial^r \xi}{\partial t^r} \quad (16)$$

با فرض هارمونیک بودن ارتعاشات داریم:

$$\xi = [C \cdot f(r) + D \cdot g(r)] e^{i\omega t} \quad (17)$$

که در آن A و B اعدادی ثابت و f و g دوتابع ۱۸ خواهند بود.

$$\begin{cases} f(r) = r^{-\frac{1}{r}} J_\alpha(k_r r) \\ g(r) = r^{-\frac{1}{r}} Y_\alpha(k_r r) \end{cases} \quad (18)$$

که در آن $J_\alpha(k_r r)$ و $Y_\alpha(k_r r)$ به ترتیب توابع از نوع اول و دوم بسل و از مرتبه‌ی α هستند و $\alpha = \sqrt{\frac{v}{r} - v^r}$ است. از معادله‌ی ۱۷ می‌توان سرعت شعاعی را محاسبه کرد:

$$v = \frac{\partial \xi}{\partial t} = i\omega [C \cdot f(r) + D \cdot g(r)] e^{i\omega t} \quad (19)$$

با توجه به شرایط مرزی سرعت ارتعاشات شعاعی $v_a = \frac{\partial \xi}{\partial r}|_{r=b}$ و $v_b = \frac{\partial \xi}{\partial r}|_{r=a}$ و نیز نیروهای شعاعی $S_b = -F_b$ و $S_a = -F_a$ ، می‌توان ثابت‌های C و D را محاسبه و سپس F_a و F_b را به صورت توابعی از v_a و v_b نوشت:

$$\begin{cases} F_b^* = \frac{F_a k_r}{\rho c_r S_a [G(a)f(a) - F(a)g(a)]} = (Z_{1r} + Z_{2r}) v_b + Z_{2r} v_a \\ F_a^* = \frac{F_b k_r}{\rho c_r S_b [G(b)f(b) - F(b)g(b)]} = (Z_{1r} + Z_{2r}) v_a + Z_{1r} v_b \end{cases} \quad (20)$$

که در آن Z_{1r} و Z_{2r} امپدانس‌های الکترومکانیکی ارتعاشات شعاعی‌اند:

$$\begin{cases} Z_{1r} = \frac{F(b)[g(a)-g(b)] - G(b)[f(a)-f(b)]}{g(b)F(b) - f(b)G(b)} Z_{2r} \\ Z_{2r} = \frac{F(a)[g(b)-g(a)] - G(a)[f(b)-f(a)]}{g(a)F(b) - f(a)G(b)} Z_{1r} \\ Z_{1r} = i \frac{1}{f(a)g(b) - f(b)g(a)} \end{cases} \quad (21)$$

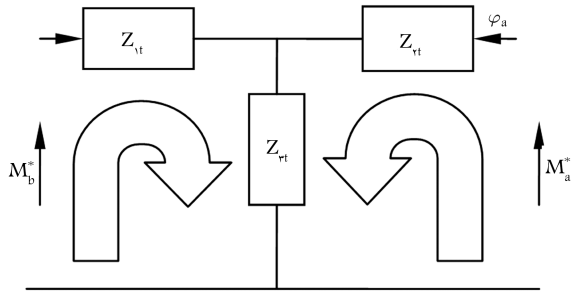
در این معادلات داریم:

$$\begin{aligned} f(a) &= f(r)|_{r=a}, & f(b) &= f(r)|_{r=b} \\ g(a) &= g(r)|_{r=a}, & g(b) &= g(r)|_{r=b} \\ F(a) &= F(r)|_{r=a}, & F(b) &= F(r)|_{r=b} \\ G(a) &= G(r)|_{r=a}, & G(b) &= G(r)|_{r=b} \end{aligned} \quad (22)$$

که در آن‌ها F, G براساس روابط ۲۳ به دست می‌آیند.

$$\begin{cases} F(r) = \frac{df(r)}{dr} + \frac{v}{r} f(r) \\ G(r) = \frac{dg(r)}{dr} + \frac{v}{r} g(r) \end{cases} \quad (23)$$

مدار معادل الکترومکانیکی ارتعاشات شعاعی مانند شکل ۲ است با این تفاوت که جای متغیرهای $Z_{1r}, Z_{2r}, Z_{1t}, Z_{2t}$ به ترتیب با M_a^*, M_b^* ، φ_a ، φ_b ، Z_{1t} ، Z_{2t} و M_a^*, M_b^* نیز بودند.



شکل ۲. مدار معادل دیسک حلقوی با مقطع مخروطی.

معادله‌ی فرکانس طبیعی پیچشی عبارت خواهد بود از:

$$Z_{1t} + \frac{Z_{1t} Z_{2t}}{Z_{1t} + Z_{2t}} = 0 \quad (11)$$

تمامی متغیرهای معادله‌ی ۱۱ بر حسب سختی پیچشی k_t است و با حل این معادله برای یافتن k_t و با در نظر گرفتن ارتباط بین این متغیر و سرعت موج c_t ، می‌توان فرکانس طبیعی را به دست آورد:

$$f_t(n) = \frac{k_t(n)}{2\pi} \sqrt{\frac{E}{2(1+v)\rho}} \quad (12)$$

در معادله‌ی ۱۲ n یک عدد صحیح و مثبت است و E اولین فرکانس طبیعی را نشان می‌دهد. از معادله‌ی ۱۱ و مقادیر Z_{1t} ، Z_{2t} و M_a^* می‌توان دریافت که وقتی پارامترهای مادی E ، ρ و σ مشخص‌اند، k_t وابسته به a (شعاع داخلی) و b (شعاع خارجی) است و درنتیجه فرکانس طبیعی نیز به a و b وابسته است.

پارامتر مهم دیگر که در ارتعاشات پیچشی صفحه‌ی حلقوی مؤثر است، مقدار بزرگ‌نمایی دامنه‌ی ارتعاشات (نسبت دامنه‌ی ارتعاشات شعاع داخلی به خارجی) پیچشی است. با توجه به شکل ۲ داریم:

$$M_t = \left| \frac{\phi_a}{\phi_b} \right| = \left| \frac{\varphi_a}{\varphi_b} \right| = \left| \frac{Z_{2t}}{Z_{1t} + Z_{2t}} \right| \quad (13)$$

در صورت مشخص‌بودن پارامترهای مادی E ، ρ و σ و پارامترهای هندسی a و b ، مقدار k_t از معادله‌ی ۱۲ قابل محاسبه است. با جایگذاری متغیرها در معادله‌ی ۱۳ می‌توان مقدار بزرگ‌نمایی M_t را محاسبه کرد. از محاسبات عددی می‌توان دریافت که M_t منحصرأً وابسته به نسبت شعاع خارجی به داخلی است.

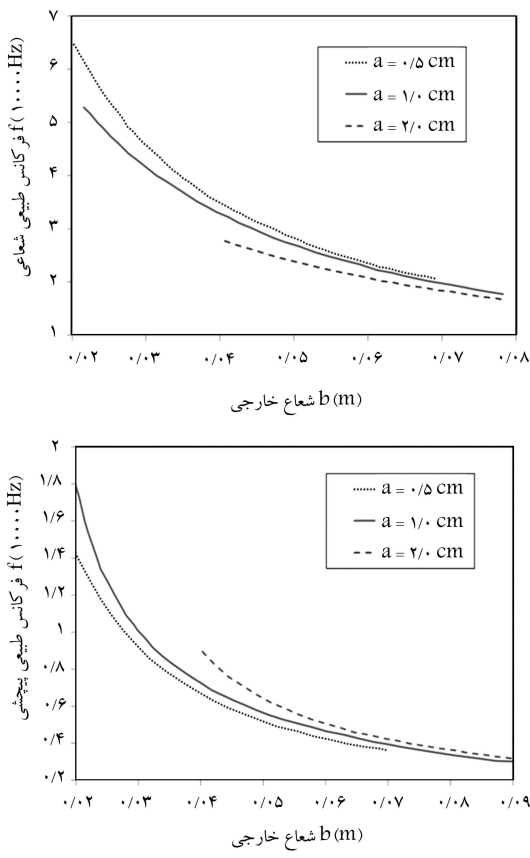
ارتعاشات شعاعی دیسک‌های حلقوی با مقطع مخروطی

ارتعاشات شعاعی نیز از قابلیت مدل‌سازی به صورت تقارن محوری برخوردارند. برای ارتعاشات شعاعی، به جای φ و M در شکل ۱، به ترتیب از متغیرهای v و F استفاده می‌شود. ارتعاشات شعاعی دیسک (صفحة) حلقوی با ضخامت متغیر براساس معادله‌ی ۱۴ محاسبه می‌شود:

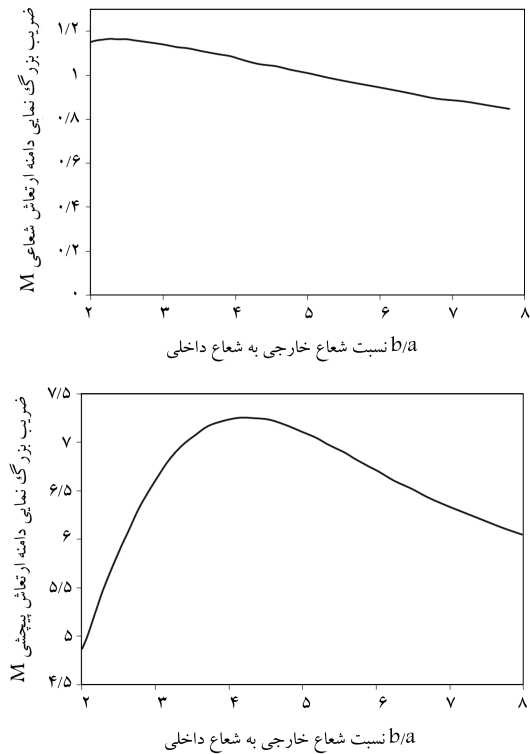
$$\frac{\partial^r \xi}{\partial r^r} + \left(\frac{1}{r} + \frac{1}{h} \cdot \frac{dh}{dr} \right) \frac{\partial \xi}{\partial r} - \left(\frac{1}{r^r} - \frac{v}{rh} \cdot \frac{dh}{dr} \right) \xi = \frac{1}{c_r^r} \cdot \frac{\partial^r \xi}{\partial t^r} \quad (14)$$

تششیع شعاعی دیسک نیز عبارت خواهد بود از:

$$T_r = \frac{E}{1-v^r} \left(\frac{\partial \xi}{\partial r} + v \frac{\xi}{r} \right) \quad (15)$$



شکل ۳. نمودارهای تغییرات فرکانس‌های طبیعی بر حسب تغییرات شعاع خارجی.



شکل ۴. نمودارهای تغییرات ضریب بزرگ‌نمایی بر حسب تغییرات نسبت شعاع خارجی به شعاع داخلی.

F_a^* و F_b^* عوض شده است؛ معادله ارتعاشات شعاعی مانند حالت قبل چنین به دست می‌آید:

$$Z_{1r} + \frac{Z_{2r} Z_{2r}}{Z_{2r} + Z_{2r}} = 0 \quad (24)$$

جواب معادله ۲۴ سختی شعاعی k_r بوده و با توجه به روابط این متغیر و سرعت موج شعاعی (c_r) می‌توان فرکانس طبیعی شعاعی را به دست آورد:

$$f_r(n) = \frac{k_r(n)}{2\pi} \sqrt{\frac{E}{\rho(1 - v^2)}} \quad (25)$$

که در آن n یک عدد طبیعی مثبت است و بمازای $n = 1$ اولین فرکانس طبیعی ارتعاشات شعاعی مشخص می‌شود. همچنین مانند حالت قبل k_t به شعاع داخلی (a) و شعاع خارجی (b) وابسته است. بزرگ‌نمایی دامنه ارتعاشات شعاعی نیز از رابطه ۲۶ به دست می‌آید.

$$M_r = \left| \frac{\xi_a}{\xi_b} \right| = \left| \frac{v_a}{v_b} \right| = \left| \frac{Z_{2r}}{Z_{2r} + Z_{2r}} \right| \quad (26)$$

براساس معادله ۲۴ محاسبه می‌شود و سپس با جایگذاری در معادله M_r مقدار بزرگ‌نمایی قبل محاسبه است. مانند حالت قبل می‌توان نشان داد که منحصراً وابسته به نسبت شعاع‌های خارجی به داخلی (b/a) است.

نتایج

باید به این نکته اشاره داشت که سرعت‌های v و φ و جایه‌جایی‌های ϕ و ψ خیلی کمتر از سرعت‌های صوت c_t و طول موج‌های مرتبه در نظر گرفته شده‌اند. بنابراین روابط ارائه شده برای تحلیل ارتعاشات غیرخطی مناسب نیستند. برای بررسی رابطه‌ی بین فرکانس تشدید و بزرگ‌نمایی با پارامترهای هندسی، نمودار تغییرات فرکانس طبیعی و ضریب بزرگ‌نمایی دامنه انتظار آن‌ها برای ارتعاشات پیچشی و شعاعی با شعاع داخلی ثابت و بر حسب شعاع خارجی، به ترتیب در شکل‌های ۳ و ۴ ترسیم شده است. برای حل معادلات، جنس ماده‌ی دیسک از فولاد معمولی با خواص زیر در نظر گرفته شده است:

$$v = 0,28, \quad E = 2,1 \times 10^{11} \text{ Pa}, \quad \rho = 7850 \frac{\text{Kg}}{\text{m}^3}$$

چنان‌که در نمودارهای شکل ۳ مشخص است، در صورت ثابت بودن شعاع داخلی و افزایش شعاع خارجی، فرکانس‌های طبیعی کاهش می‌باشد. همچنین، برای شعاع‌های داخلی متفاوت تمامی نمودارها با افزایش شعاع خارجی به مقدار مشترکی همگرا می‌شوند. در صورت ثابت بودن شعاع خارجی و افزایش شعاع داخلی، فرکانس طبیعی پیچشی بزرگ‌تر می‌شود ولی برای ارتعاشات شعاعی، با افزایش شعاع داخلی فرکانس طبیعی شعاعی کاهش می‌باشد. علت این موضوع، افزایش سختی سازه با کاهش شعاع داخلی است. باید به این نکته توجه داشت که انطباق یا تقاطع این نمودارها ممکن نیست زیرا علی‌رغم تأثیرگذاری شعاع داخلی، عامل اصلی شعاع خارجی است. تغییرات بزرگ‌نمایی دامنه نسبت به پارامترهای هندسی در شکل ۴ نشان داده شده است. در ابتدا با افزایش نسبت شعاع خارجی به داخلی مقدار ضریب بزرگ‌نمایی ارتعاشات پیچشی سریعاً افزایش می‌یابد، ولی با ادامه‌ی افزایش این نسبت، ضریب بزرگ‌نمایی پس از رسیدن به مقدار بیشینه با سرعت کمتری کاهش می‌یابد. مقدار بیشینه‌ی ضریب بزرگ‌نمایی ارتعاش پیچشی با $b/a = 3/7$ است که در $b/a = 4$ مشاهده شده است. در ارتعاشات شعاعی، افزایش a/b باعث کاهش تدریجی ضریب بزرگ‌نمایی می‌شود و مقدار متوسط آن در نزدیکی عدد ۱ است.

بررسی صحت روش

الف) مقایسه با حل دقیق دیسک با ضخامت یکنواخت در صورت بازنویسی معادله‌ی ۳ برای ضخامت یکنواخت داریم:

$$\frac{\partial^2 \phi}{\partial r^2} + \frac{1}{r} \frac{\partial \phi}{\partial r} + \left(k_t^* - \frac{1}{r^2} \right) \phi = 0 \quad (27)$$

معادله‌ی فوق با توجه به مطالب موجود در ضمیمه، یک معادله‌ی بسل از مرتبه‌ی ۱ است. با استفاده از فرض ارتعاشات هارمونیک و حل معادله‌ی ۲۷، عبارت ۲۸ قابل استخراج است.

$$\phi = [A \cdot J_1(k_t r) + B \cdot Y_1(k_t r)] e^{i\omega t} \quad (28)$$

با توجه به اندازه‌ی سرعت‌های زاویه‌ی مرزی φ_a و φ_b با $\frac{\partial \phi}{\partial t}|_{r=a} = \varphi_a$ و $\frac{\partial \phi}{\partial t}|_{r=b} = -\varphi_b$ مطابق رابطه‌ی ۶ خواهد بود. با توجه به شرایط مرزی گشتاور $M|_{r=a} = -M_a$ و $M|_{r=b} = -M_b$ مطابق رابطه‌ی ۷ به دست آورد: $M_b^* = \frac{\tau M_b k_t (J_b Y_a - J_a Y_b)}{\rho c_t S_b}$ و $M_a^* = \frac{\tau M_a k_t (J_b Y_a - J_a Y_b)}{\rho c_t S_a}$ و با توجه به خواص توابع بسل می‌توان نوشت.

$$\begin{cases} M_b^* = (Z_{1t} + Z_{2t}) \varphi_b + Z_{2t} \varphi_a \\ M_a^* = (Z_{2t} + Z_{1t}) \varphi_a + Z_{1t} \varphi_b \end{cases} \quad (29)$$

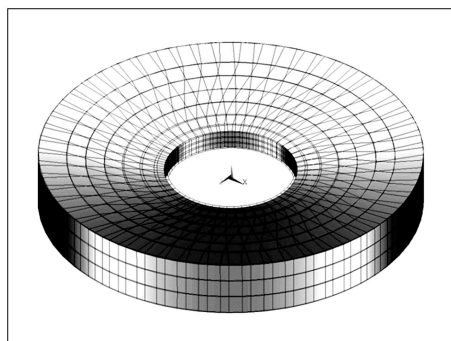
که در آن Z_{1t} ، Z_{2t} و Z_{2t} امپدانس‌های مکانیکی معادل برای ارتعاشات پیچشی مطابق معادله‌ی ۳۲ به دست می‌آید.

$$\begin{cases} Z_{1t} = b (J_b Y_a - J_a Y_b) + 2b^\tau (Y'_b J_a - J'_b Y_a) - Z_{2t} \\ Z_{2t} = -a (J_b Y_a - J_a Y_b) + 2a^\tau (Y'_a J_b - J'_a Y_b) - Z_{1t} \\ Z_{2t} = \pi a^{\frac{1}{4}} b^{\frac{1}{4}} \end{cases} \quad (30)$$

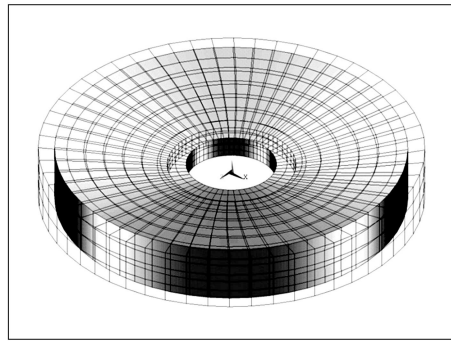
سپس مانند گذشته، با حل معادله‌ی تشید مدار معادل الکترومکانیکی (معادلات ۱۱ و ۱۲) برحسب k_t مقدار فرکانس طبیعی اول به دست می‌آید. مطالب مطرح شده به لحاظ قالبی برای ارتعاشات شعاعی نیز قابل طرح است. فرکانس طبیعی پیچشی و شعاعی اول برای چند دیسک حلقوی به‌کمک روش مذکور و نیز با توجه به نتایج بررسی‌های قبلی محققین^[۵]، در جدول ۱ مقایسه شده است.

جدول ۱. فرکانس‌های طبیعی محاسبه شده از روش ارائه شده و مقایسه آن با نتایج حل مرجع^[۵] و اجزاء محدود.

ردیف	پارامترهای هندسی (m)									
	درصد خطأ با نتایج (%)	نتایج اجزاء محدود (Hz)	نتایج حل ^[۵] برای دیسک یکنواخت (Hz)	نتایج مدار معادل الکترومکانیکی (Hz)	f_r	f_t	h_b	h_a	b	a
۱	۰,۰۹	۲,۴۶	۲۵۷۶۵	۷۴۸۷۶	۲۳۹۸۴	۷۳۱۹۶	۲۴۵۷۳	۷۳۲۶۴	۰,۰۰۲	۰,۰۰۲
۲	۰,۱۵	۳,۱۰	۳۱۴۹۱	۱۰۲۵۶۸	۲۹۹۸۱	۱۰۱۶۶۱	۳۰۹۱۲	۱۰۱۸۱۶	۰,۰۰۱۵	۰,۰۰۱۵



شکل ۵. اولین شکل مود ارتعاش پیچشی، ۱۰۴۶۷۸ Hz.



شکل ۶. اولین شکل مود ارتعاش شعاعی، ۴۰۷۵۴ Hz.

جدول ۲. فرکانس‌های طبیعی محاسبه شده از روش ارائه شده و مقایسه آن با نتایج روش اجزاء محدود.

ردیف	پارامترهای هندسی (m)								درصد خطأ (%)	
	نتایج اجزاء محدود (Hz)	نتایج مدار معادل الکترومکانیکی (Hz)	نتایج مدار معادل		نتایج اجزاء محدود					
Δf_t	Δf_r	f_{nr}	f_{nt}	f_r	f_t	h_b	h_a	b	a	
۱	۰,۰۷۶	۳,۶۱۰	۴۰۷۵۴	۱۰۴۶۷۸	۴۰۸۱۲	۱۰۰۶۹۳	۰,۰۰۹	۰,۰۰۳	۰,۰۳	۰,۰۱
۲	۰,۱۰۸	۳,۹۳۰	۴۰۸۵۶	۱۰۴۸۱۲	۴۰۸۱۲	۱۰۰۶۹۳	۰,۰۱۲	۰,۰۰۴	۰,۰۳	۰,۰۱
۳	۰,۰۵۶	۴,۶۲۶	۳۲۲۵۵	۷۵۶۲۰	۳۲۲۲۷	۷۲۱۲۲	۰,۰۰۸	۰,۰۰۲	۰,۰۴	۰,۰۱
۴	۰,۱۸۳	۴,۵۷۲	۶۴۵۷۳	۱۵۱۲۰۶	۶۴۴۵۵	۱۴۴۲۹۳	۰,۰۰۱	۰,۰۰۲۵	۰,۰۲	۰,۰۰۵
۵	۰,۰۷۶	۳,۶۰۹	۲۰۴۲۱	۵۲۲۳۲	۲۰۴۰۶	۵۰۳۴۷	۰,۰۱۸	۰,۰۰۶	۰,۰۶	۰,۰۲

$$c_t = \sqrt{E/2\rho(1+v)}$$

: سرعت موج برشی

E : مدول یانگ

f_r : فرکانس طبیعی شعاعی

f_t : فرکانس طبیعی پیچشی

F_a : نیروی شعاعی در شعاع داخلی

F_b : نیروی شعاعی در شعاع خارجی

$G = E/2(I+v)$: مدول برشی

h_a : ضخامت در شعاع داخلی

h_b : ضخامت در شعاع خارجی

$k_r = \omega/c_r$: عدد موج ارتعاشات شعاعی

$k_t = \omega/c_t$: عدد موج ارتعاشات پیچشی

M_a : ممان خارجی در سطح داخلی

M_b : ممان خارجی در سطح بیرونی

M_r : ضریب بزرگ‌نمایی دائمه جابه‌جاوی شعاعی

M_t : ضریب بزرگ‌نمایی دائمه تغییر زاویه پیچشی

S_a : مساحت سطح داخلی

S_b : مساحت سطح خارجی

T_r : تنش شعاعی

T_t : تنش مماسی

v_r : سرعت شعاعی

v_s : سرعت شعاعی در سطح داخلی

v_b : سرعت شعاعی در سطح خارجی

ψ : جابه‌جاوی شعاعی

ρ : چگالی ماده

v : ضریب پواسان

ϕ : جابه‌جاوی زاویه‌بی

ψ : سرعت زاویه‌بی

φ_a : سرعت زاویه‌بی در سطح داخلی

φ_b : سرعت زاویه‌بی در سطح خارجی

w : فرکانس زاویه‌بی

به خوبی مطابقت دارند. چون اندازه‌گیری ضریب بزرگ‌نمایی در نرم‌افزار ANSYS امکان‌پذیر نیست و نیز اندازه‌گیری آزمایشگاهی آن دشوار است، مقایسه پارامتر بزرگ‌نمایی میسر نبود.

نتیجه‌گیری

در این نوشتار ارتعاشات پیچشی و شعاعی دیسک‌های حلقوی با تغییرات ضخامت خطی به کمک روش مدار معادل الکترومکانیکی تحلیل شد. در تحلیل فوق، دیسک به صورت نازک در نظر گرفته شده است. بهیان دیگر ضخامت آن در برابر شعاع بسیار کوچک است و بنا بر این ارتعاشات آن را می‌توان تقارن محوری در نظر گرفت. ارتباط بین فرکانس‌های طبیعی و شعاعی هندسی بررسی و مشخص شد با وجود این که فرکانس‌های طبیعی به شعاع داخلی وابسته‌اند اما عامل مهم تر شعاع خارجی است. هنگامی که شعاع داخلی ثابت است، فرکانس‌های طبیعی پیچشی و شعاعی با افزایش شعاع خارجی کاهش می‌یابند. همچنین این نتایج نشان می‌دهند که ضرایب بزرگ‌نمایی وابستگی مستقیم به ابعاد سیستم ندارند و فقط به هیأت کلی سیستم (نسبت قطر خارجی به قطر داخلی) وابسته‌اند. در نهایت این ارتباط (شکل ۴) مشخص ساخت که تغییرات ضریب بزرگ‌نمایی ارتعاشات پیچشی حساسیت زیادی به نسبت شعاع‌های خارجی به داخلی دارد.

روش ارائه شده در این نوشتار که برای طراحی دیسک‌هایی با تغییرات ضخامت خطی است برای طراحی دیسک‌هایی با الگوی ضخامتی متفاوت نیز مناسب است. از آنجا که پیش‌بینی رفتار مدار معادل الکترومکانیکی ساده‌تر از پیش‌بینی رفتار معادله دیفرانسیل مربوطه است، درک این روش به راحتی امکان‌پذیر است. روش ارائه شده برای بررسی ارتعاشات دیسک‌های ضخیم یا در تحلیل ارتعاشات غیرخطی دیسک‌ها کارایی نخواهد داشت.

فهرست علاوه

$$c_r = \sqrt{E/\rho(1-v^2)}$$

منابع (References)

- Leissa, A.W., *Vibration of Plates*, Acoustical Society of America, Sewickley, PA (1993).
- Singh, B. and Saxena, V. "Axisymmetric vibration of a circular plate with double linear variable thickness", *Journal of Sound and Vibration*, **179**, pp. 879-897 (1995).
- Singh, B. and Saxena, V. "Axisymmetric vibration of a circular plate with exponential thickness variation", *Journal of Sound and Vibration*, **192**, pp. 35-42 (1996).
- Laura, P.A.A.; Gutierrez, R.H. and Rossi, R.E. "Vibration of circular annular plates of cylindrical anisotropy and non-uniform thickness", *Journal of Sound and Vibration*, **231**, pp. 246-252 (2000).
- Gladwell, G.M.L. "The vibration of mechanical resonators (I) uniform rings and discs", *Journal of Sound and Vibration*, **6**, pp. 343-350 (1967).
- Mindlin, R.D. and Derezewicz, H. "Thickness-shear and flexural vibration of a circular disk", *Journal of Applied Physics*, **25**, pp. 1329-1332 (1954).
- Civalek, O. "Application of differential quadrature (DQ) and harmonic differential quadrature (HDQ) for buckling analysis of thin isotropic plates and elastic columns", *Engineering Structures*, **26**, pp. 171-186 (2004).
- Han, J.B. and Liew, K.M. "Axisymmetric free vibration of thick annular plates", *International Journal of Mechanical Sciences*, **41**, pp. 1089-1109 (1999).
- Wang, X.; Yang, J. and Xiao, J. "On free vibration analysis of circular annular plates with non-uniform thickness by the differential quadrature method", *Journal of Sound and Vibration*, **194**, pp. 547-551 (1995).
- Xiang, Y. and Zhang, L. "Free vibration analysis of stepped circular Mindlin plates", *Journal of Sound and Vibration*, **280**, pp. 633-655 (2005).
- Hang, L.T.T.; Wang, C.M. and Wu, T.Y. "Exact vibration results for stepped circular plates with free edges", *International Journal of Mechanical Sciences*, **47**, pp. 1224-1248 (2005).
- Mason, W.P. "Physical acoustics I", Part A, Academic Press, New York, London (1964).
- Kamke, E., *Differentialgleichungen: Lösungsmethoden und Lösungen, I, gewöhnliche Differentialgleichungen*, B. G. Teubner, Leipzig (1977).
- Polyanin, A.D. and Zaitsev, V.F., *Handbook of Exact Solutions for Ordinary Differential Equations*, 2nd Edition, Chapman & Hall/CRC, Boca Raton (2003).

تابع بسل نوع اول (شکل ۷):

$$J_\alpha(x) = \sum_{m=0}^{\infty} \frac{(-1)^m}{m! \Gamma(m + \alpha + 1)} \left(\frac{x}{2}\right)^{m+\alpha}$$

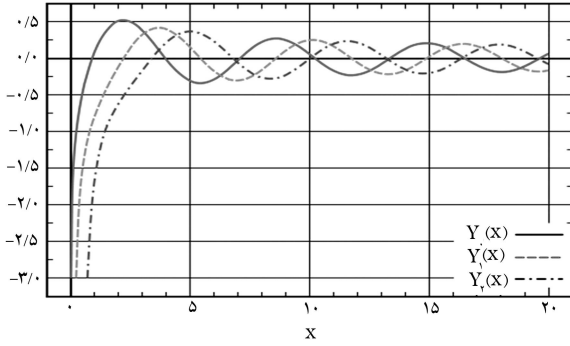
$$J_{\alpha+\frac{1}{4}}(x) = \sqrt{\frac{2}{\pi}} x^{\alpha+\frac{1}{4}} \left(-\frac{1}{x} \cdot \frac{d}{dx}\right)^\alpha \left(\frac{\sin(x)}{x}\right)$$

$$J_{-\alpha-\frac{1}{4}}(x) = \sqrt{\frac{2}{\pi}} x^{\alpha+\frac{1}{4}} \left(-\frac{1}{x} \cdot \frac{d}{dx}\right)^\alpha \left(\frac{\cos(x)}{x}\right)$$

تابع بسل نوع دوم (شکل ۸):

$$Y_\alpha(x) = \frac{J_\alpha(x) \cos(\alpha\pi) - J_{-\alpha}(x)}{\sin(\alpha\pi)}$$

$$Y_{\alpha+\frac{1}{4}}(x) = (-1)^{n+1} J_{-\alpha-\frac{1}{4}}(x)$$



شکل ۸. تابع بسل نوع دوم.

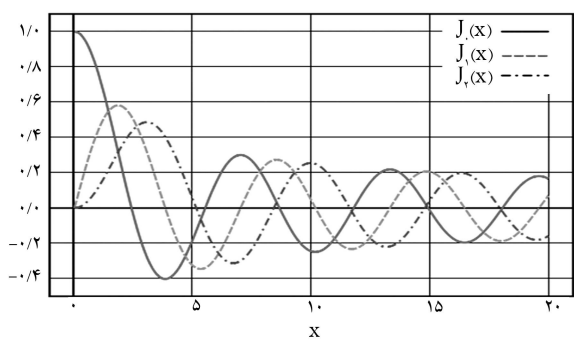
برای توابعی به شکل:

$$y = x^{\frac{1-a}{4}} \cdot \left[C_1 \cdot J_\alpha \left(\frac{2}{n} \sqrt{b} x^{\frac{n}{4}} \right) + C_2 \cdot Y_\alpha \left(\frac{2}{n} \sqrt{b} x^{\frac{n}{4}} \right) \right]$$

می‌توان حلی کلی به صورت:

$$y = x^{\frac{1-a}{4}} \cdot \left[C_1 \cdot J_\alpha \left(\frac{2}{n} \sqrt{b} x^{\frac{n}{4}} \right) + C_2 \cdot Y_\alpha \left(\frac{2}{n} \sqrt{b} x^{\frac{n}{4}} \right) \right]$$

که در آن C_1, C_2 مقادیری ثابت و J_α و Y_α به ترتیب توابع بسل نوع اول و دوم هستند، پیشنهاد داد.^[۱۲، ۱۳]



شکل ۷. تابع بسل نوع اول.

VIBRATION ANALYSIS OF ANNULAR DISKS BY EQUIVALENT ELECTRO-MECHANICAL CIRCUIT METHOD

H. Nahvi*

hnahvi@cc.iut.ac.ir

N. Nouri

n.nouri@me.iut.ac.ir

Dept. of Mechanical Engineering
Isfahan University of Technology

Sharif Mechanical Engineering Journal

Volume 28, Issue 3, Page 87-93, Research Note

© Sharif University of Technology

Abstract

In this paper, the vibration of an annular disk with a linearly varying cross-section is analyzed by means of Bessel's functions and an equivalent electro-mechanical circuit method. By using the equivalent electrical equations, natural frequencies and magnification factors are obtained. This is done by writing the equations of motion for the disk vibration and rewriting the equation to make it similar to a three component Kirchhoff circuit. The method can be used to obtain the resonance frequency of an ultrasonic transducer as well as the resonance frequency of a circuit. In this method, the vibration of an annular disk is investigated separately in radial and torsional components. The results of the method were first verified for the cylindrical disks with uniform

thickness and proved to be compatible with the previously developed methods for extracting natural frequencies of such shapes. Then, the effects of variations of geometrical parameters, namely; the ratio of the outer radius over the inner radius and the relation between the angular and radial displacement amplitude magnification on the natural frequencies, are studied. The results show that by fixing the inner radius, the torsional and radial resonance frequencies are decreased as the outer radius is increased. Although the inner radius affects the natural frequencies, it is observed that the primary factor is the outer radius. The relationship between the magnifications and the geometrical radius ratio is also analyzed, which shows a weak relationship between them. Correspondingly, the finite element method is used to analyze the modal shapes by ANSYS software. It is shown that the frequency values calculated by applying the presented theory are in good agreement with the simulation results by ANSYS. The method is also capable of providing benchmark values for researchers to validate other variable thickness annular plates. The drawback of this analysis is that it assumes a very thin annular disk. For thick disks, the vibrations are complex and the method of this paper is not applicable.

Key Words: analytical vibrations, annular disks, electro-mechanical circuit.

* corresponding author

Received 3 July 2010; received in revised form 16 January 2011;
accepted 9 March 2011.